

# 代数方程式系の数値解を 求めるための ソフトウェア (PHoM) の紹介

東京工業大学 数理・計算科学専攻  
武田朗子

共同研究: 郡司貴之, 小島政和, 水谷友彦 (東工大)  
Sunyoung Kim (Ewha Univ.)  
藤澤克樹 (東京電機大)

Polyhedral Homotopy Method を用いて  
代数方程式系の孤立解  $\boldsymbol{x} \in \mathbb{C}^n$  を求める

$n$  個の変数を持つ  $n$  本の代数方程式

$$P(\boldsymbol{x}) = \begin{cases} p_1(x_1, x_2, \dots, x_n) = 0 \\ \dots \\ p_n(x_1, x_2, \dots, x_n) = 0 \end{cases}$$

$$P(\boldsymbol{x}) \in \mathbb{C}^n$$

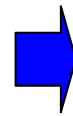
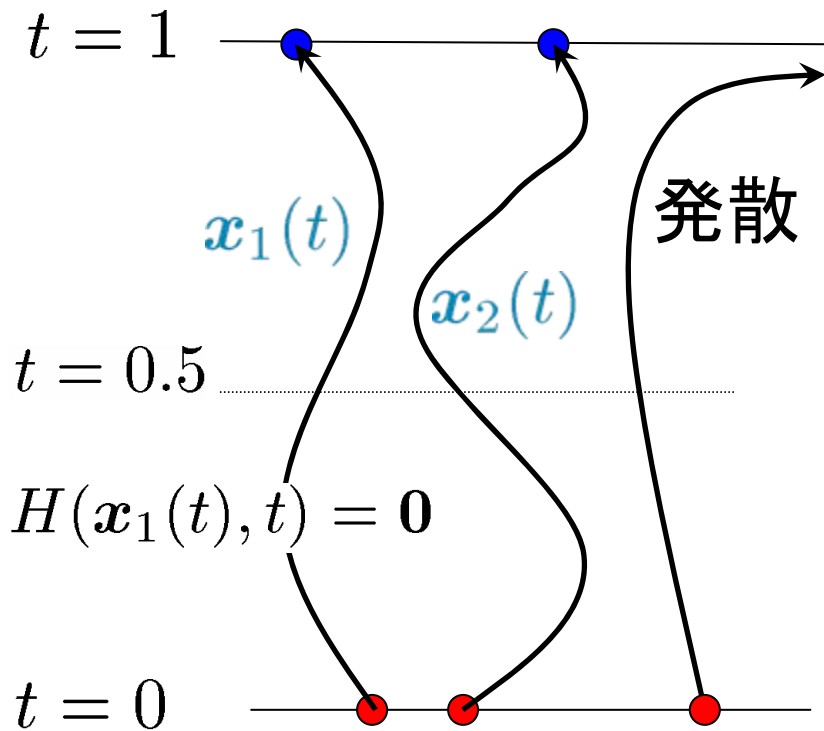
例えば...

$$p_i(x_1, x_2, x_3) = x_1^2 - (2.1 + i)x_1x_2x_3^2 + 8.5$$

# ホモトピー法

Phase 1: ホモトピー関数  $H(x, t)$  を構築

Phase 2: ホモトピーパスを追う



$H(x, 1) = P(x) = 0$   
解きたい系の解

$P(x) = 0$  の孤立解の数  
 $\leq H(x, 0) = 0$  の初期解の数



初期システムの解  
 $H(x, 0) = 0$

# Polyhedral Homotopy Method

[ Huber & Sturmfels 95]

古くからのホモトピー法 (Linear Homotopy) に比べて

- $H(x, t)$  の構築に時間がかかる

Phase 1 の計算時間 : 大

- ホモトピーパスの数が少ない

= 初期解の数

Phase 2 の計算時間 : 小

$P(x) = 0$  の解の数  $\leq$  初期解の数 =  $P(x)$  の混合体積

Bernshteinの定理 [Bernshtein '75]

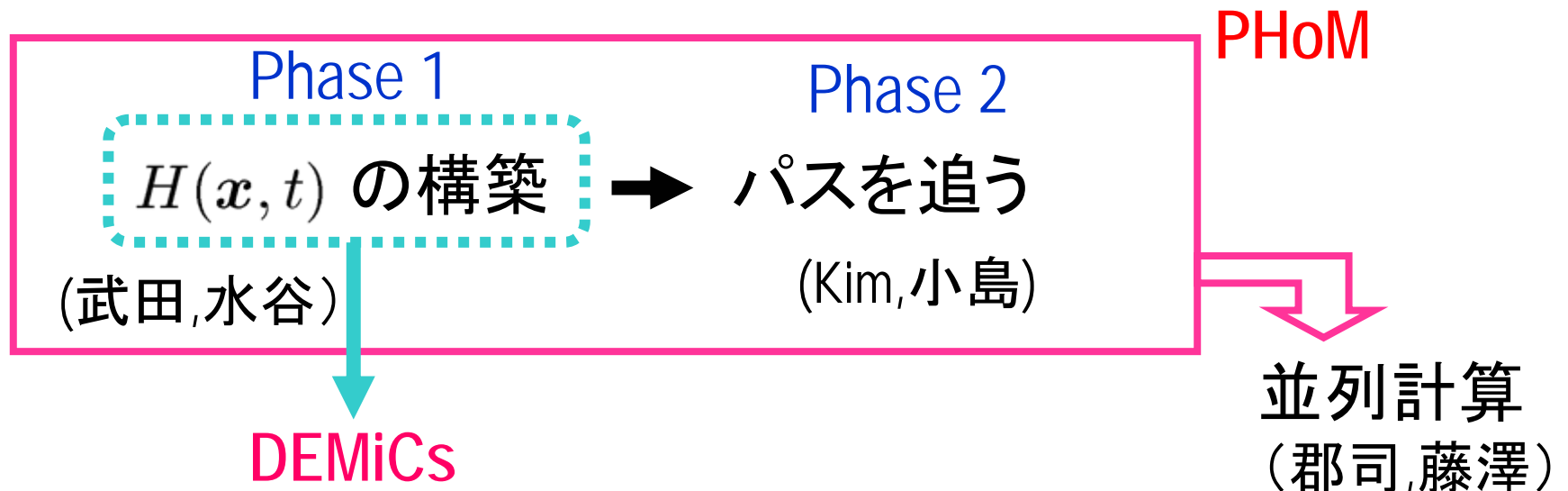
# Polyhedral Homotopy Methodのソフトウェア

## Phase 1 & 2 のソフトウェア:

PHCpack [Verschelde 99], HOM4PS [Gao, Li & Li 02], **PHoM** [Gunji et al. 04]

## Phase 1 のソフトウェア:

mvol [Li & Li 01], MixedVol [Gao & Li 05], **DEMiCs** [Mizutani & Takeda 07]



# PHoMの特徴

我々のグループで蓄積された最適化研究を活用

- ホモトピー関数構築 (Phase 1) のために  
沢山の線形計画問題を解く必要あり
- predictor-corrector法によるパス追跡 (Phase 2)
- PCクラスタによる並列計算

Phase 1は他ソフトウェアに比べてかなり速くなった  
→ DEMiCsとして公開準備中

# PHoMによる計算時間

master ←

Problem	#workers	計算時間 (s)			ratio
		Phase 1	Phase 2	Total	
Eco-14	1	13,620	9,033	22,653	1.0
	10	1,383	909	2,292	9.9
	20	718	460	1,178	19.2
	40	388	238	626	36.2
Katsura-11	1	637	3,923	4,550	1.0
	10	87	395	482	10.0
	20	68	211	279	19.6
	40	58	102	160	34.9

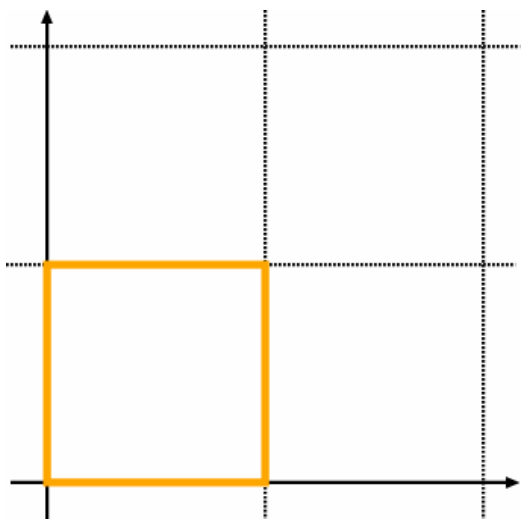
13,620s = 3h47m  
DEMiCsでは  
Eco-18...19m31s

637s = 10m37s  
DEMiCsでは  
Katsura-13...7m37s

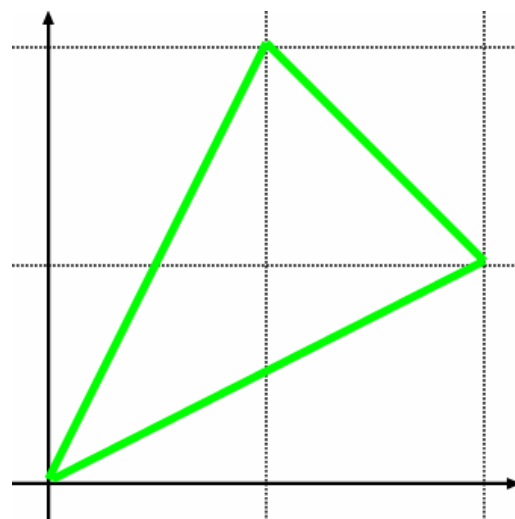
PCクラスタ (AMD Athlon 2.0GHz), グリッドRPCシステム Ninf を使用

# ホモトピー関数の構築 1/3

$$\begin{aligned} p_1 &= c_{11}x_1 + c_{12}x_2 + c_{13}x_1x_2 + c_{14} = 0 \\ p_2 &= c_{21}x_1^2x_2 + c_{22}x_1x_2^2 + c_{23} = 0 \end{aligned}$$



$$P_1 = \text{conv}(S_1)$$



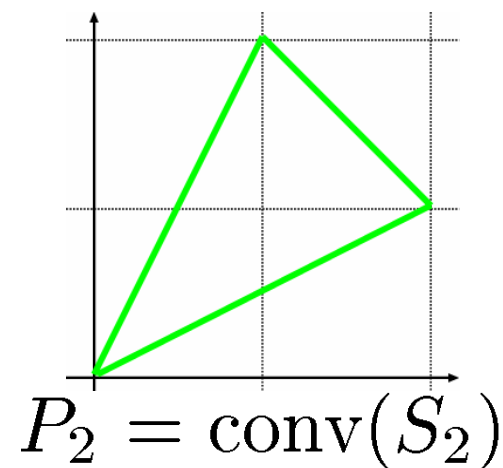
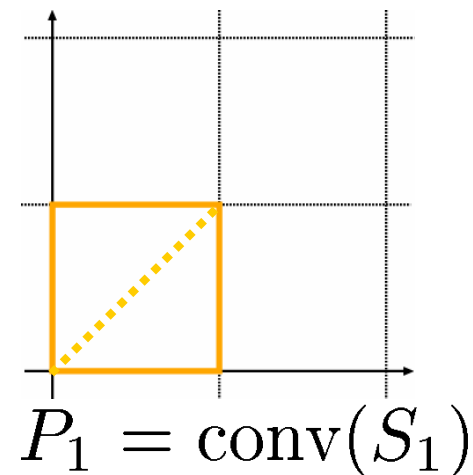
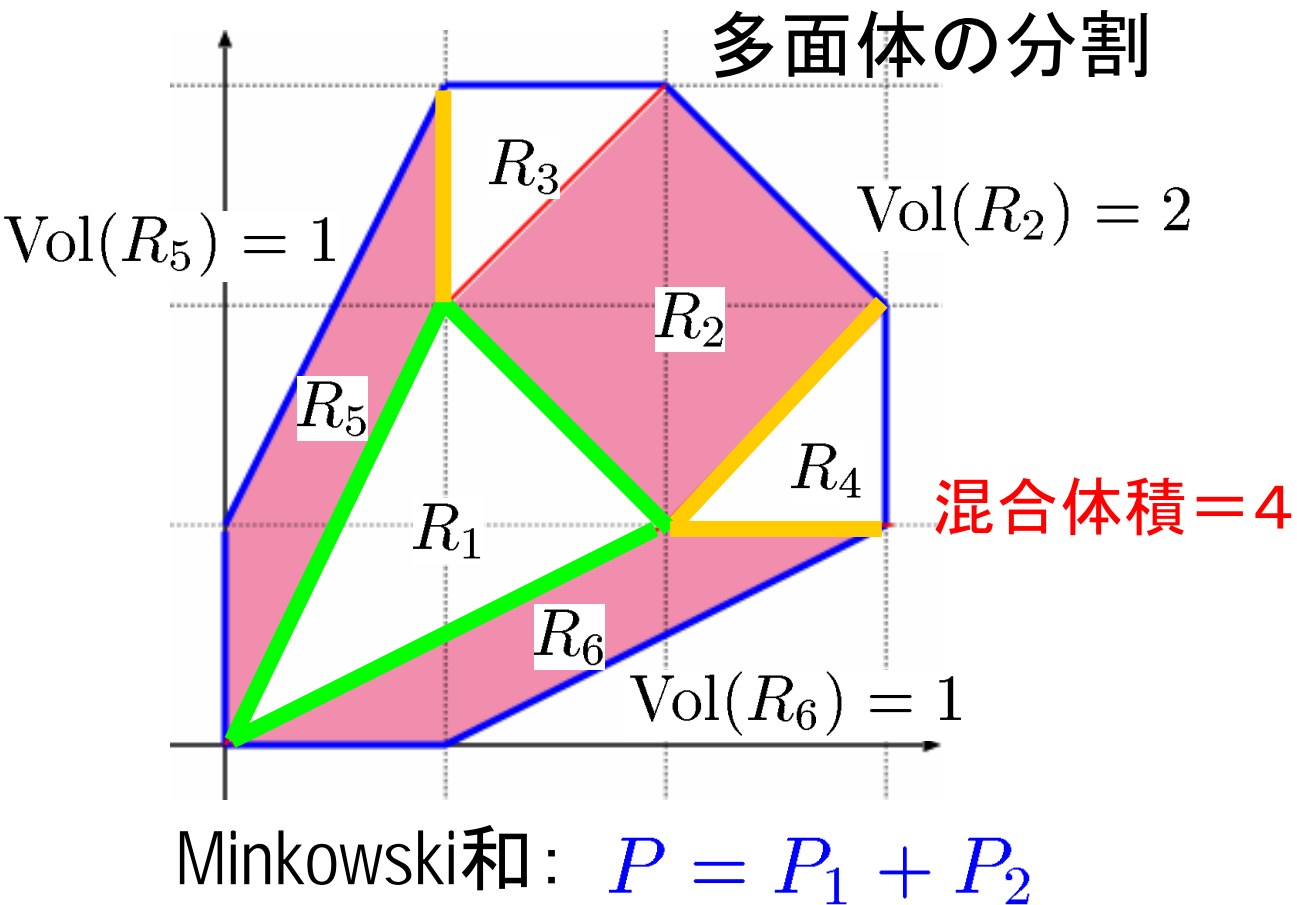
$$P_2 = \text{conv}(S_2)$$

$$S_1 = \left\{ \begin{pmatrix} 1 \\ 0 \end{pmatrix}, \begin{pmatrix} 0 \\ 1 \end{pmatrix}, \begin{pmatrix} 1 \\ 1 \end{pmatrix}, \begin{pmatrix} 0 \\ 0 \end{pmatrix} \right\}$$

$$S_2 = \left\{ \begin{pmatrix} 2 \\ 1 \end{pmatrix}, \begin{pmatrix} 1 \\ 2 \end{pmatrix}, \begin{pmatrix} 0 \\ 0 \end{pmatrix} \right\}$$

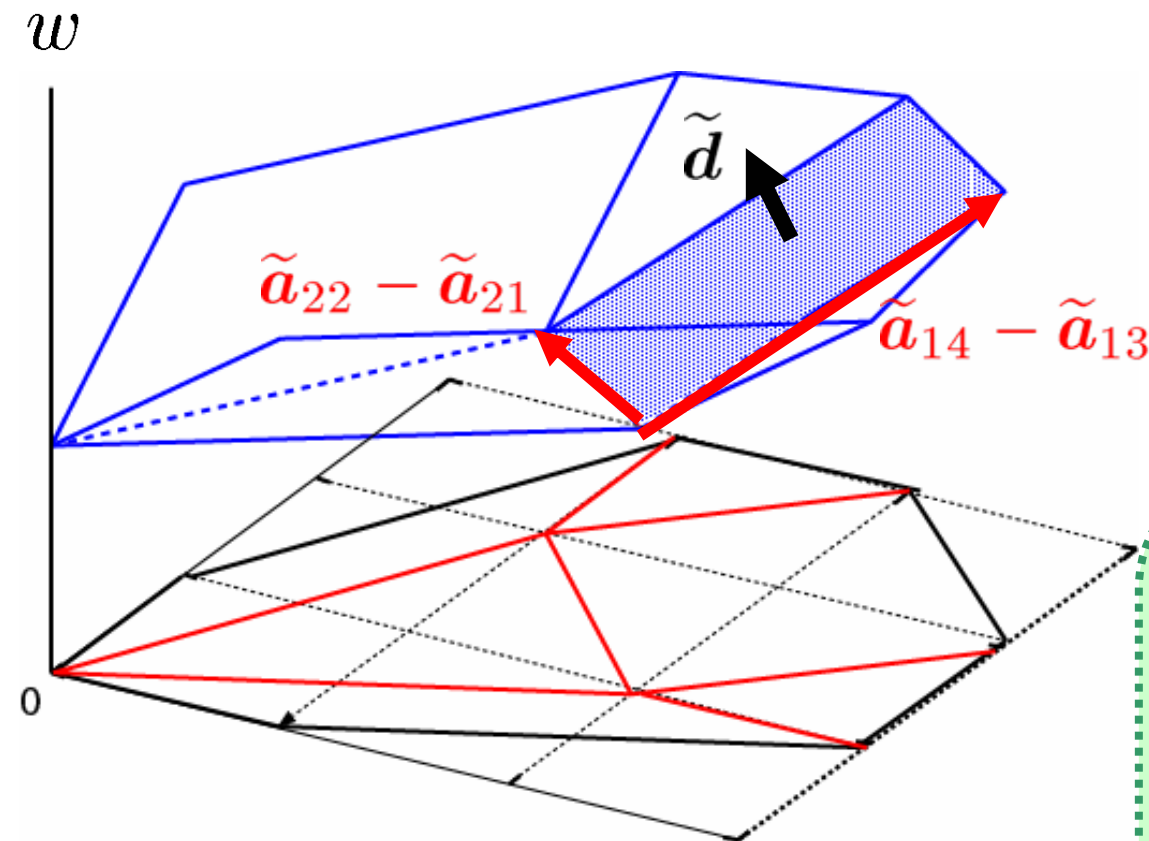


# ホモトピー関数の構築 2/3



ホモトピー関数構築に貢献するのは  $R_2, R_5, R_6$   
これらを列挙したい！

# ホモトピー関数の構築 3/3



$\tilde{P}$  の下側の面が  
 $P$  の分割を与える

$$\tilde{P} = \tilde{P}_1 + \tilde{P}_2$$

リフティング

$$(\tilde{a}_{14} - \tilde{a}_{13})^\top \tilde{d} = 0$$

$$(\tilde{a}_{11} - \tilde{a}_{13})^\top \tilde{d} > 0$$

$$(\tilde{a}_{12} - \tilde{a}_{13})^\top \tilde{d} > 0$$

$$(\tilde{a}_{22} - \tilde{a}_{21})^\top \tilde{d} = 0$$

$$(\tilde{a}_{23} - \tilde{a}_{21})^\top \tilde{d} > 0$$

を満たす  $\tilde{d}$  が存在する

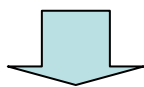
# Polyhedral Homotopies

# 1<sup>st</sup> poly. の項 = 4, # 2<sup>nd</sup> poly. の項 = 3

$$\{k_1, k_2\} = \{3, 4\}, \quad \{l_1, l_2\} = \{1, 2\}$$

$$\left\{ \begin{array}{l} (\tilde{\mathbf{a}}_{14} - \tilde{\mathbf{a}}_{13})^\top \tilde{\mathbf{d}} = 0 \\ (\tilde{\mathbf{a}}_{11} - \tilde{\mathbf{a}}_{13})^\top \tilde{\mathbf{d}} > 0, \quad (\tilde{\mathbf{a}}_{12} - \tilde{\mathbf{a}}_{13})^\top \tilde{\mathbf{d}} > 0 \\ (\tilde{\mathbf{a}}_{22} - \tilde{\mathbf{a}}_{21})^\top \tilde{\mathbf{d}} = 0 \\ (\tilde{\mathbf{a}}_{23} - \tilde{\mathbf{a}}_{21})^\top \tilde{\mathbf{d}} > 0 \end{array} \right.$$

この系を満たす解  $\tilde{\mathbf{d}}$  が存在



ホモトピー  $H(\mathbf{x}, t) =$

$$t^{(\tilde{\mathbf{a}}_{14} - \tilde{\mathbf{a}}_{13})^\top \tilde{\mathbf{d}}} = t^0 = 1$$

$$\left( \begin{array}{lll} c_{11} \mathbf{x}^{\mathbf{a}_{11}} t^{(\tilde{\mathbf{a}}_{11} - \tilde{\mathbf{a}}_{13})^\top \tilde{\mathbf{d}}} & + c_{12} \mathbf{x}^{\mathbf{a}_{12}} t^{(\tilde{\mathbf{a}}_{12} - \tilde{\mathbf{a}}_{13})^\top \tilde{\mathbf{d}}} & + c_{13} \mathbf{x}^{\mathbf{a}_{13}} + c_{14} \mathbf{x}^{\mathbf{a}_{14}} \\ c_{21} \mathbf{x}^{\mathbf{a}_{21}} & + c_{22} \mathbf{x}^{\mathbf{a}_{22}} & + c_{23} \mathbf{x}^{\mathbf{a}_{23}} t^{(\tilde{\mathbf{a}}_{23} - \tilde{\mathbf{a}}_{21})^\top \tilde{\mathbf{d}}} \end{array} \right)$$

# Phase 1に必要な計算

✓ ペアの組を選ぶ  $\{k_1, k_2\} \subseteq \{1, \dots, 4\}$ ,  $\{l_1, l_2\} \subseteq \{1, 2, 3\}$

✓  $\{k_1, k_2\}$ ,  $\{l_1, l_2\}$  について**実行可能性テスト**を行う

${}^4C_2 \times {}^3C_2 = 18$  の実行可能性テストは必要? → NO!

$\{k_1, k_2\}$  と  $\{l_1, l_2\}$  のあらゆる組み合わせ

✓ Dynamic enumeration → 実行可能性テスト回数↓

✓ 最適解  $\tilde{d}$  の使いまわし → テストにかかる計算コスト↓

# 実行可能性テスト

# 1<sup>st</sup> poly. の項 = 4

# 2<sup>nd</sup> poly. の項 = 3

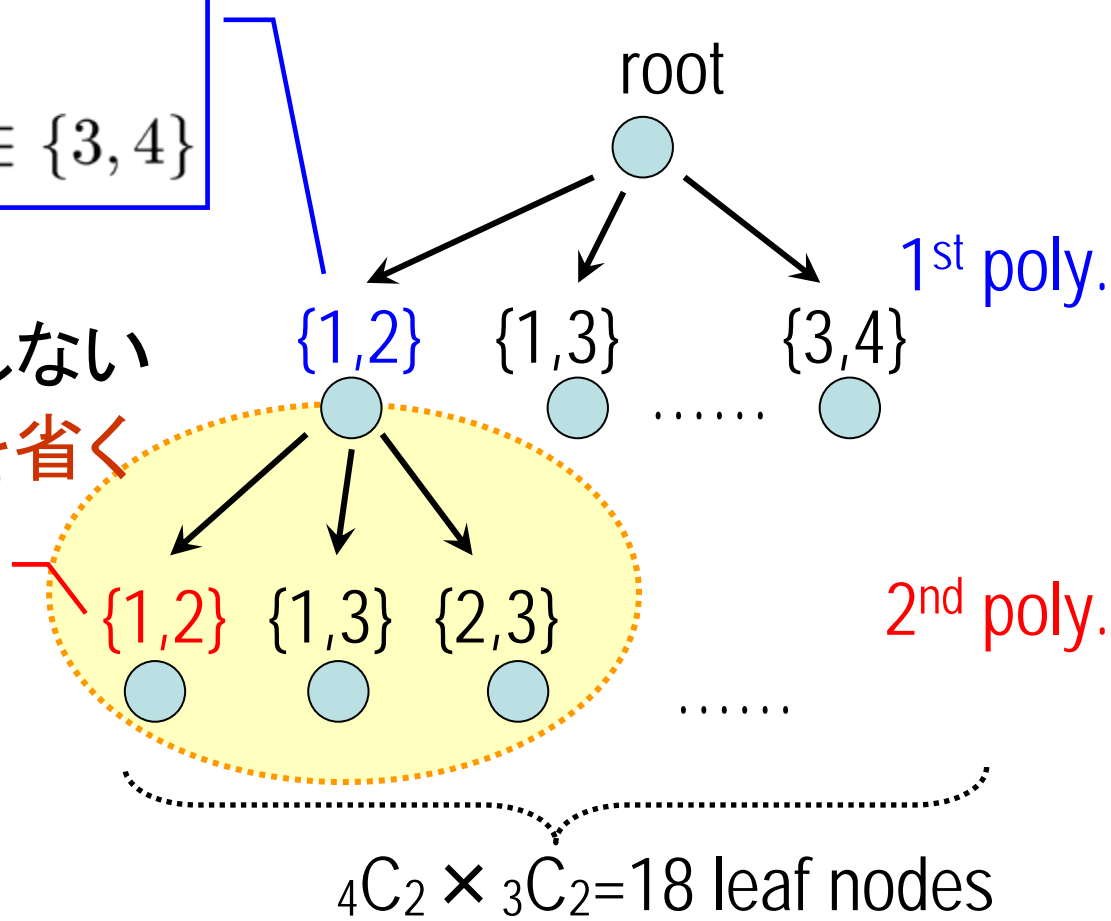
(★)

$$\begin{aligned} (\tilde{\mathbf{a}}_{12} - \tilde{\mathbf{a}}_{11})^\top \tilde{\mathbf{d}} &= 0 \\ (\tilde{\mathbf{a}}_{1i} - \tilde{\mathbf{a}}_{11})^\top \tilde{\mathbf{d}} &\geq 0, \quad i \in \{3, 4\} \end{aligned}$$

(★)の解  $\tilde{\mathbf{d}}$  が存在しない

⇒ 実行可能性テストを省く

$$\begin{aligned} (\star) \\ (\tilde{\mathbf{a}}_{22} - \tilde{\mathbf{a}}_{21})^\top \tilde{\mathbf{d}} &= 0 \\ (\tilde{\mathbf{a}}_{23} - \tilde{\mathbf{a}}_{21})^\top \tilde{\mathbf{d}} &\geq 0 \end{aligned}$$



{ $k_1, k_2$ } と { $l_1, l_2$ } のあらゆる組み合わせ

# Static Enumeration Tree

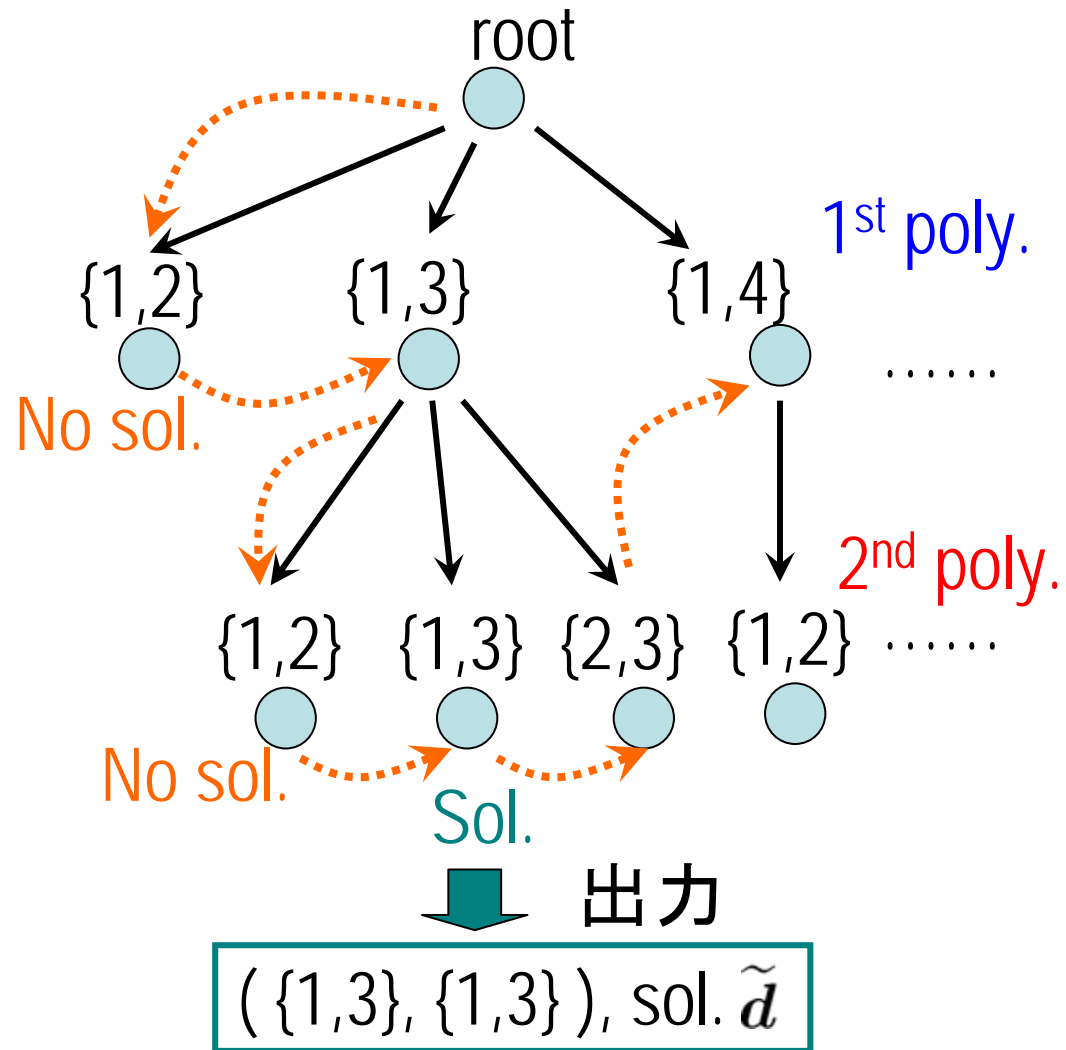
MixedVol [Gao & Li 05]

- ✓ Relation table
- ✓ 1-point test

前もって  
木構造を決める

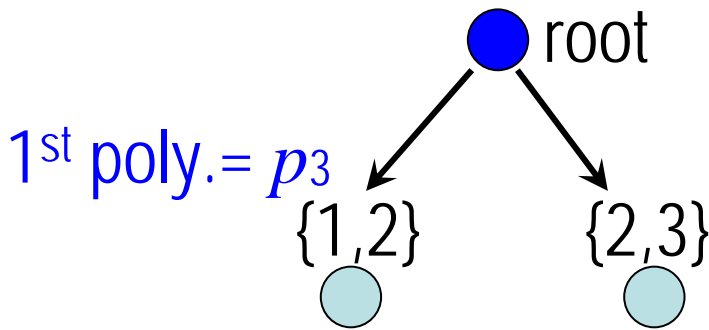
木のレベル  
(方程式の順番)に注目

→ Dynamic enumeration



# Dynamic Enumeration

各方程式に対して  
実行可能なノード数を調べる



#  $p_1$  の項 = 4

#  $p_2$  の項 = 4

#  $p_3$  の項 = 3

✓ 1<sup>st</sup> poly =  $p_1$

➔ {1,2}, {1,4}, ....., {3,4}

実行可能なノード数 = 4

✓ 1<sup>st</sup> poly =  $p_2$

➔ {1,2}, {1,3}, ....., {2,4}

実行可能なノード数 = 5

✓ 1<sup>st</sup> poly =  $p_3$

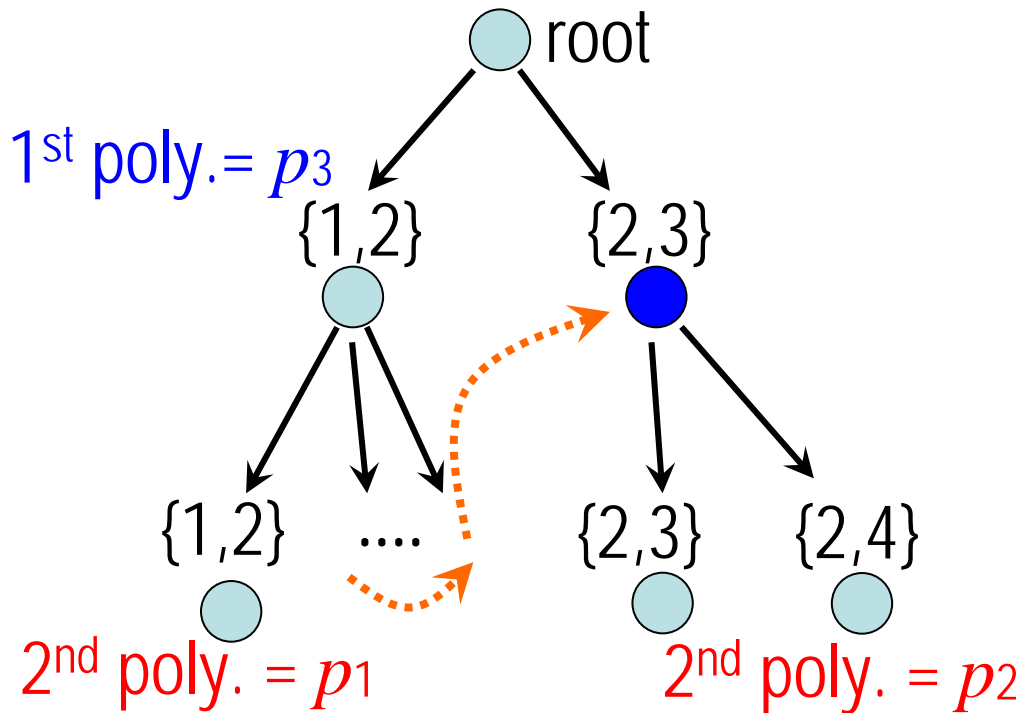
➔ {1,2}, {2,3}

実行可能なノード数 = 2

Dynamic Enumeration Tree

# Dynamic Enumeration

各方程式に対して  
実行可能なノード数を調べる



Dynamic Enumeration Tree

#  $p_1$  の項 = 4

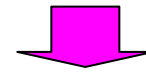
#  $p_2$  の項 = 4

#  $p_3$  の項 = 3

$$(\tilde{\mathbf{a}}_{33} - \tilde{\mathbf{a}}_{32})^\top \tilde{\mathbf{d}} = 0$$

$$(\tilde{\mathbf{a}}_{31} - \tilde{\mathbf{a}}_{32})^\top \tilde{\mathbf{d}} \geq 0$$

この制約のもとで...



✓ 2<sup>nd</sup> poly =  $p_1$

➔ {1,2}, {1,4}, {3,4}

実行可能なノード数 = 3

✓ 2<sup>nd</sup> poly =  $p_2$

➔ {2,3}, {2,4}

実行可能なノード数 = 2



# DEMiCsによる計算結果

Problem	Phase1	MixedVol (M)	DEMiCs (D)	M/D
Cyclic-12	44m 41s	4m 43s	1m 9s	4.1
Cyclic-13	9h 30m 26s	49m 57s	10m 55s	4.6
Cyclic-14	--	7h 14m 24s	1h 36m 37s	4.5
Katsura-12	25m 30s	14m 4s	1m 4s	13.2
Katsura-13	1h 54m 14s	1h 21m 19s	7m 37s	10.7
Katsura-14	11h 7m 25s	7h 54m 29s	37m 22s	12.7
Noon-15	2h 13m 6s	9m 41s	17s	34.2
Noon-16	8h 41m 54s	33m 55s	1m 5s	31.3
Noon-17	--	2h 25m 21s	3m 13s	45.2

MixedVol [Gao & Li 05]

(CPU: Opteron 850 2.4GHz, Memory: 8GB)

# これから

PHoMのさらなる発展を目指す！

- 手法の改良：  
ホモトピー関数構築 (Phase 1) は十分に速い  
これから、パス追跡 (Phase 2)の改良
- 実装の改良：  
キャッシュメモリ、多倍長計算
- 使い勝手の改良：  
インターフェースの改良  
Online Solver、グリッドポータルシステム など...